

<b>Zeitschrift:</b>	L'Enseignement Mathématique
<b>Herausgeber:</b>	Commission Internationale de l'Enseignement Mathématique
<b>Band:</b>	46 (2000)
<b>Heft:</b>	1-2: L'ENSEIGNEMENT MATHÉMATIQUE
<b>Artikel:</b>	TOPOLOGIE DES COURBES ALGÉBRIQUES RÉELLES : UNE QUESTION DE FELIX KLEIN
<b>Autor:</b>	Gabard, Alexandre
<b>Kapitel:</b>	7.1 Les courbes de degré pair
<b>DOI:</b>	<a href="https://doi.org/10.5169/seals-64798">https://doi.org/10.5169/seals-64798</a>

### Nutzungsbedingungen

Die ETH-Bibliothek ist die Anbieterin der digitalisierten Zeitschriften auf E-Periodica. Sie besitzt keine Urheberrechte an den Zeitschriften und ist nicht verantwortlich für deren Inhalte. Die Rechte liegen in der Regel bei den Herausgebern beziehungsweise den externen Rechteinhabern. Das Veröffentlichen von Bildern in Print- und Online-Publikationen sowie auf Social Media-Kanälen oder Webseiten ist nur mit vorheriger Genehmigung der Rechteinhaber erlaubt. [Mehr erfahren](#)

### Conditions d'utilisation

L'ETH Library est le fournisseur des revues numérisées. Elle ne détient aucun droit d'auteur sur les revues et n'est pas responsable de leur contenu. En règle générale, les droits sont détenus par les éditeurs ou les détenteurs de droits externes. La reproduction d'images dans des publications imprimées ou en ligne ainsi que sur des canaux de médias sociaux ou des sites web n'est autorisée qu'avec l'accord préalable des détenteurs des droits. [En savoir plus](#)

### Terms of use

The ETH Library is the provider of the digitised journals. It does not own any copyrights to the journals and is not responsible for their content. The rights usually lie with the publishers or the external rights holders. Publishing images in print and online publications, as well as on social media channels or websites, is only permitted with the prior consent of the rights holders. [Find out more](#)

**Download PDF:** 24.01.2026

**ETH-Bibliothek Zürich, E-Periodica, <https://www.e-periodica.ch>**

**Étape 2.** Ensuite en vertu de Brusotti, on va explorer d'autres choix de simplifications qui vont livrer des *courbes non-séparantes* avec moins d'ovales.

**Étape 3.** On disposera alors déjà d'un système d'invariants permettant d'attraper toutes les non-séparantes, via une opération simple qui consiste à rajouter une *petite conique*.

**Étape 4.** A ce stade, il nous restera à réaliser les *courbes séparantes* non prohibées par Rohlin, qui s'obtiendront en exploitant les 2 choix de simplifications compatibles avec les orientations complexes.

**Étape 5.** Enfin, en répertoriant les invariants ainsi réalisés, on constatera qu'il nous manque encore quelques invariants non prohibés par Rohlin, que l'on attrapera cependant par de petites constructions «ad hoc».

## 7.1 LES COURBES DE DEGRÉ PAIR

**Étape 0.** • Pour  $d = 2$  on a  $g = 0$ , et il n'y a alors que deux surfaces symétriques qui sont la sphère équatoriale et antipodale, respectivement réalisées par  $x^2 + y^2 = 1$  et  $x^2 + y^2 = -1$ .

Observer plus généralement que  $x^d + y^d = -1$  livre les invariants  $(d, r = 0, 1)$  pour tout  $d$  pair.

- Pour  $d = 4$ , on considère une paire de coniques réelles  $C_2 \cup E_2 \subset \mathbf{P}^2$  s'intersectant en 4 points réels, que l'on peut déformer en les quartiques réelles lisses de la Figure 9. D'après Fiedler la première et la dernière de ces courbes (que Klein appelait la *Gürtelkurve*) sont séparantes (les simplifications effectuées étant compatibles avec les orientations complexes) et toutes les autres sont non-séparantes.

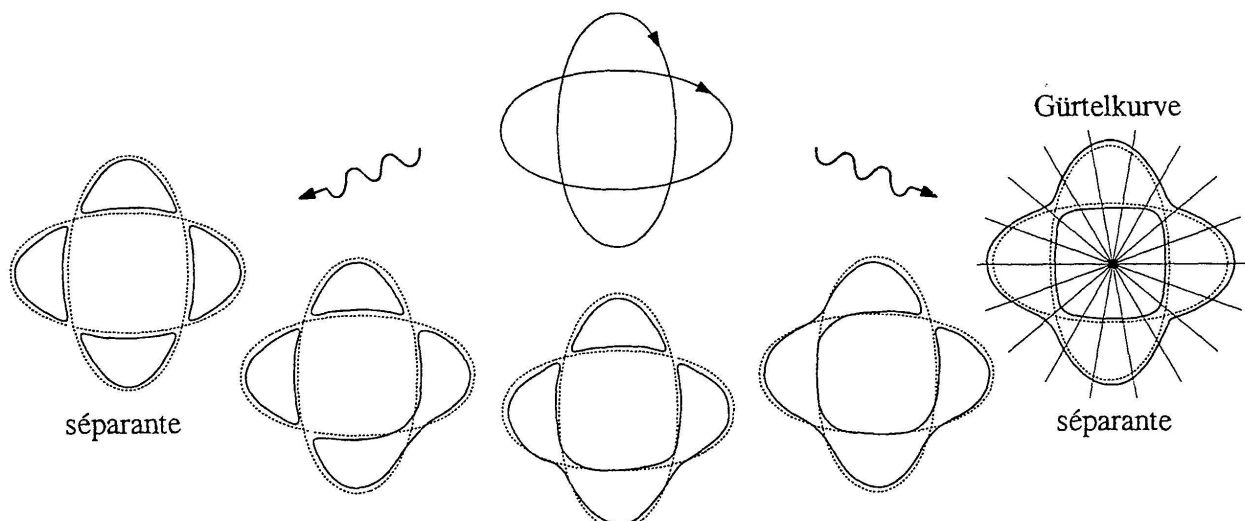


FIGURE 9

En se souvenant des 6 surfaces symétriques de genre  $g = 3$  (cf. Figure 2), on observe que pour  $d = 4$  il n'y a pas de restrictions aux invariants de Klein.

**REMARQUE.** Un argument plus synthétique pour révéler le caractère séparant de la Gürtelkurve, consiste à regarder le pinceau des droites passant par un point  $p$  réel choisi le plus à l'intérieur du nid (cf. Figure 9). Ce pinceau jouit de la propriété remarquable que tous ses membres réels (qui sont des droites réelles par  $p$ ) découpent sur  $C_4$  exclusivement des points réels. Le morphisme correspondant  $C_4 \rightarrow \mathbf{P}^1$  est donc *saturé*, i.e. ses fibres au-dessus des points réels sont toutes exclusivement formées de points réels. Par suite, il envoie les points imaginaires de  $C_4$  sur des points imaginaires du pinceau qui s'identifie à une sphère équatoriale. Cette dernière étant séparante, il en résulte que  $C_4$  l'est aussi.

Ce même argument montre plus généralement que la borne inférieure de Rohlin est toujours réalisée, i.e. pour tout degré  $d$  il existe une courbe plane réelle lisse séparante avec  $r = [\frac{d+1}{2}]$  composantes. En effet, en perturbant un peu une réunion de  $k$  cercles concentriques, on peut obtenir une courbe  $C_d$  lisse de degré pair  $d = 2k$  avec  $r = k$  composantes. Une telle courbe est séparante (il suffit comme plus haut de considérer le pinceau des droites par un point choisi le plus à l'intérieur du nid). Pour les degrés impairs, il suffit de rajouter à la configuration précédente une droite réelle «à l'infini» (et de lissifier le tout).

**Étape 1.** Rappelons maintenant la *méthode de Hilbert* de construction de  $M$ -courbes (cf. [Gu], p. 20) qui s'effectue séparément suivant la parité du degré.

Considérons deux coniques réelles  $C_2$  et  $E_2$  s'intersectant en 4 points réels  $p_1, p_2, p_3, p_4$ , et  $C_4^0$  une quartique voisine avec  $r = 4$ . Soit  $\vartheta_4 = l_1 \cdot l_2 \cdot l_3 \cdot l_4$  une quartique réunion de 4 droites réelles intersectant chacune l'arc de  $E_2(\mathbf{R})$  délimité par  $p_1$  et  $p_2$  en 2 points (cf. Figure 10), et considérons alors  $C_4 := C_4^0 + \varepsilon \vartheta_4 = 0$  où  $\varepsilon$  désigne un petit nombre réel.

Cette petite perturbation a pour effet de faire «vibrer» un des ovales de notre quartique  $C_4^0$  relativement à la conique  $E_2$  (cf. Figure 10). On applique ensuite Brusotti à la courbe  $C_4 \cdot E_2 = 0$  et le choix de simplifications de la Figure 10 fournit une courbe lisse  $C_6$  qui possède  $r = 4 + (3 + 4) = 11$  ovales, ce qui est la borne de Harnack pour  $d = 6$ .

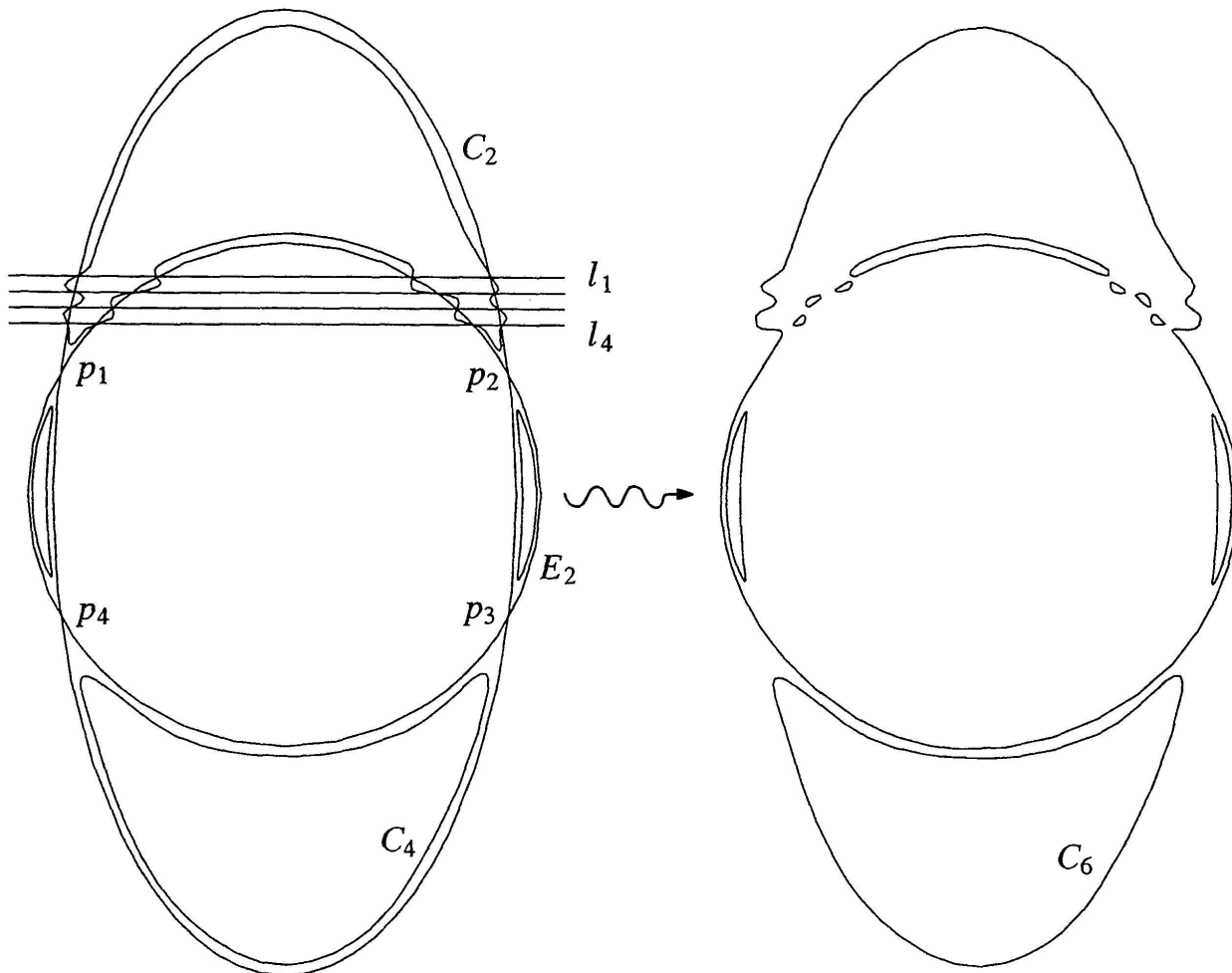


FIGURE 10

La méthode de Hilbert peut se schématiser par le dessin de la Figure 11, et en exploitant les 2 choix de simplifications de  $C_4 \cdot E_2 = 0$  compatibles avec des orientations complexes on obtient deux courbes séparantes avec  $r = 4 + (3 + 4) = 11$  et  $r = 4 + 1 = 5$  respectivement (cf. Figure 11).

**REMARQUE.** Noter ici qu'il n'est même pas nécessaire de connaître explicitement l'orientation complexe de  $C_4$ , vu que l'intersection  $C_4 \cap E_2$  est monopolisée par un seul ovale de  $C_4$ . Il suffit d'orienter (arbitrairement) les ovales de  $C_4(\mathbf{R})$  et de  $E_2(\mathbf{R})$  se rencontrant, et ces orientations locales (i.e. d'un ovale sur chaque courbe) se prolongeront univoquement en des orientations complexes des ovales restants, mais qu'il est inutile d'expliciter vu qu'elles n'influenceront pas le choix de simplifications.

**Étape 2.** L'observation importante est maintenant qu'en faisant varier le choix des simplifications de la courbe  $C_4 \cdot E_2 = 0$  de la Figure 11 (ce qui est loisible d'après Brusotti), on peut aussi obtenir les courbes de la Figure 12, qui

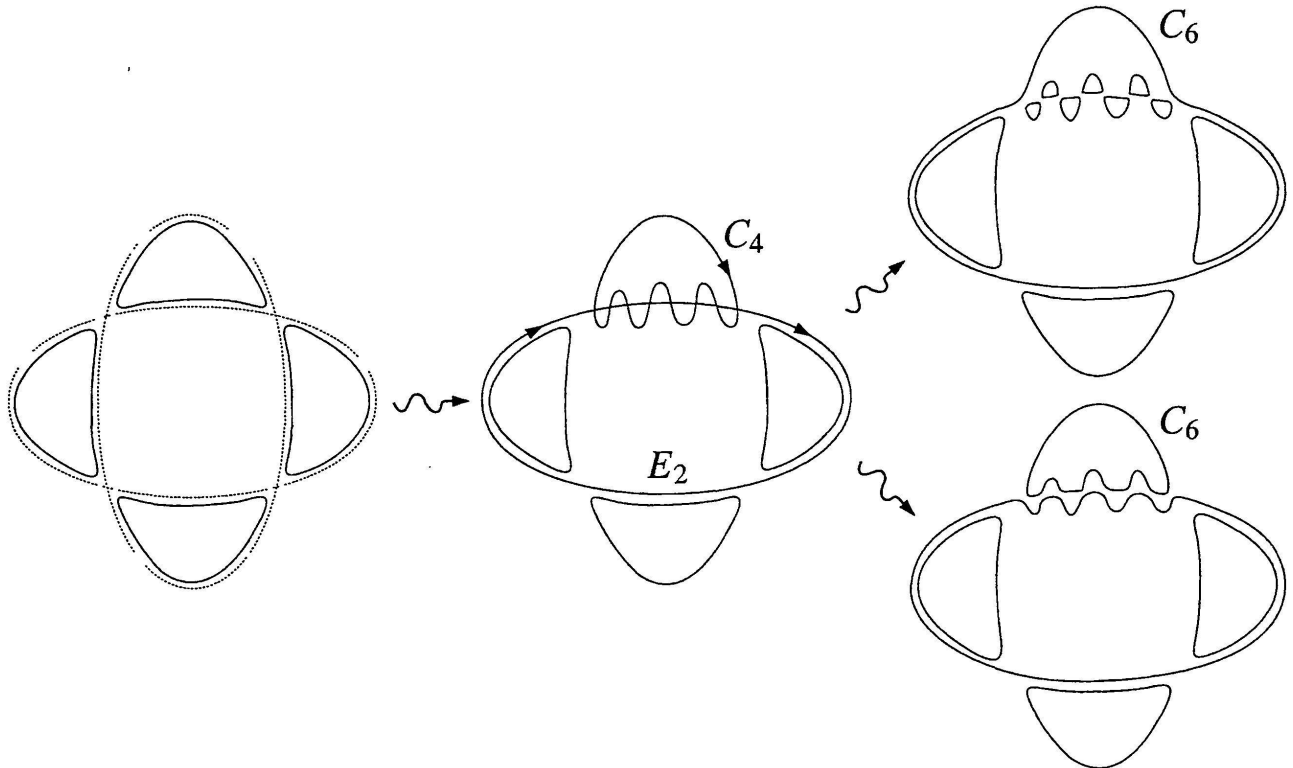


FIGURE 11

sont toutes non-séparantes (les deux choix séparants ayant déjà été exploités).

Observer que l'invariant  $r$  diminue successivement d'une unité  $r = 10, 9, \dots, 4$  jusqu'à atteindre la borne de Harnack relative au degré pair précédent. Je parle de *grignotage d'ovales dans une M-courbe de Hilbert*.

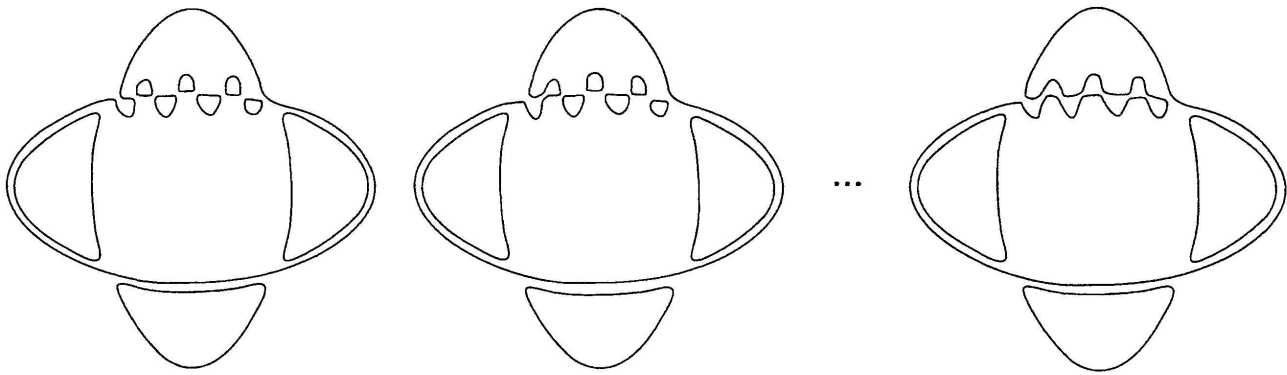


FIGURE 12

On itère ensuite la construction de Hilbert en faisant vibrer un ovale de la  $M$ -courbe  $C_6$  de la Figure 11, ce qui fournit une nouvelle courbe  $C_6$  de degré 6 qui oscille à travers  $E_2$  au voisinage de l'ovale excité (cf. Figure 13). Ensuite en simplifiant les points doubles de  $C_6 \cdot E_2 = 0$ , on peut obtenir la courbe  $C_8$  de degré 8 de la Figure 13, qui possède  $r = 11 + (5 + 6) = 22$  ovales.

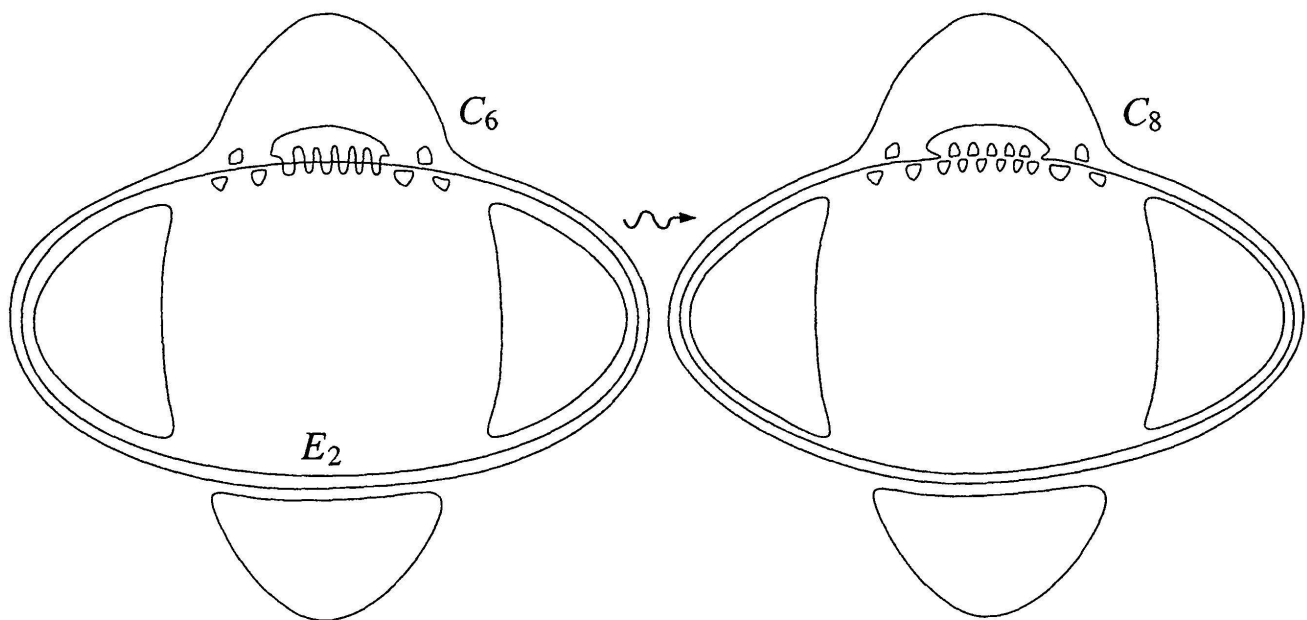


FIGURE 13

**REMARQUE.** On observe que l'on rajoute toujours à l'invariant  $r$  deux entiers consécutifs, ce qui permet de se convaincre que les courbes  $C_d$  construites par Hilbert réalisent bien toujours la borne de Harnack, puisque  $r = (1 + 2) + (3 + 4) + \cdots + (d - 3) + (d - 2) + 1 = \frac{(d-1)(d-2)}{2} + 1 = g + 1$ .

Faisons le point sur le diagramme des involutions (restreint aux degrés pairs) des valeurs des invariants  $(d, r, a)$  obtenus par cette méthode de grignotage dans une  $M$ -courbe de Hilbert (cf. Figure 14).

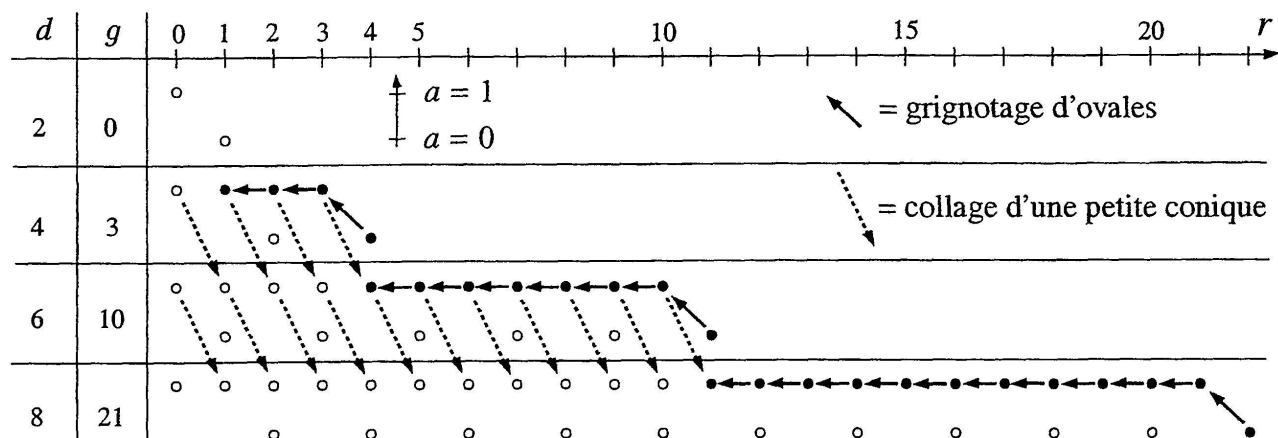


FIGURE 14

Cette méthode fournit des courbes non-séparantes  $C_d$  avec un invariant  $r$  décroissant successivement d'une unité jusqu'à atteindre la borne de Harnack relative au degré pair précédent, i.e.  $M(d - 2) = g(d - 2) + 1$ .

**Étape 3.** Ensuite étant donné une courbe non-séparante  $C_d$ , on peut toujours lui rajouter une *petite conique*  $C_2$ , c'est-à-dire une conique réelle, ayant des points réels, mais de partie réelle disjointe de celle de  $C_d$  et (de complexifiée) transverse à  $C_d$ . La courbe  $C_d \cdot C_2 = 0$  possède alors  $2d$  nœuds imaginaires conjugués dont la simplification fournit une courbe  $C_{d+2}$  non-séparante (« non-séparant » étant un caractère dominant) et qui possède un ovale de plus que la courbe donnée, i.e.  $r(C_{d+2}) = r(C_d) + 1$ . On baptise cette opération le *collage d'une petite conique*.

**REMARQUE.** Pour fabriquer une telle petite conique, il suffit de choisir un point  $p$  de  $\mathbf{P}^2(\mathbf{R})$  n'appartenant pas à  $C_d(\mathbf{R})$  et de perturber un peu le produit d'une droite imaginaire  $l$  passant par  $p$  et transverse à  $C_d$  avec sa droite conjuguée  $l^\sigma$  de sorte que le point réel isolé  $p$  de la conique dégénérée  $l \cdot l^\sigma = 0$  se transforme en un petit ovale autour de  $p$ . On peut déjà observer que cette opération s'appliquera également lorsque  $d$  sera impair.

Ainsi il est aisé (au niveau des courbes non-séparantes) de réaliser l'opération  $(d, r, 1) \mapsto (d+2, r+1, 1)$ . D'autre part, comme les non-séparantes avec  $r = 0$  s'obtiennent en considérant l'équation  $x^d + y^d = -1$ , on constate avec satisfaction en contemplant le diagramme des involutions (cf. Figure 14), que l'on dispose déjà d'un système de courbes non-séparantes permettant, moyennant itération successive de l'opération de collage d'une petite conique, d'attraper toutes les courbes non-séparantes restantes. Ceci montre qu'en degré pair tous les invariants des courbes non-séparantes sont réalisables dans le plan.

**Étape 4.** A ce stade il ne nous reste plus qu'à construire les courbes séparantes non prohibées par Rohlin, i.e. avec  $r$  tel que :

$$\frac{d}{2} \leq r \leq g(d) + 1 = \frac{(d-1)(d-2)}{2} + 1 \quad \text{et} \quad r \equiv g(d) + 1 \pmod{2}.$$

L'idée pour attraper d'autres valeurs intermédiaires de  $r$  consiste à appliquer la même technique de vibration d'un ovale, mais cette fois à une courbe séparante non nécessairement Harnack-maximale.

Explicitement, au lieu de démarrer avec une  $M$ -courbe de degré 4, on considère la quartique  $C_4$  de la Figure 15 avec  $(d, r, a) = (4, 2, 0)$ . On peut faire vibrer un ovale de  $C_4$  relativement à  $E_2$  (cf. Figure 15), et les 2 choix de simplifications de  $C_4 \cdot E_2 = 0$  compatibles avec des orientations complexes livrent des courbes séparantes avec  $r = 2 + (3 + 4) = 9$  et  $r = 2 + 1 = 3$  respectivement (cf. Figure 15).

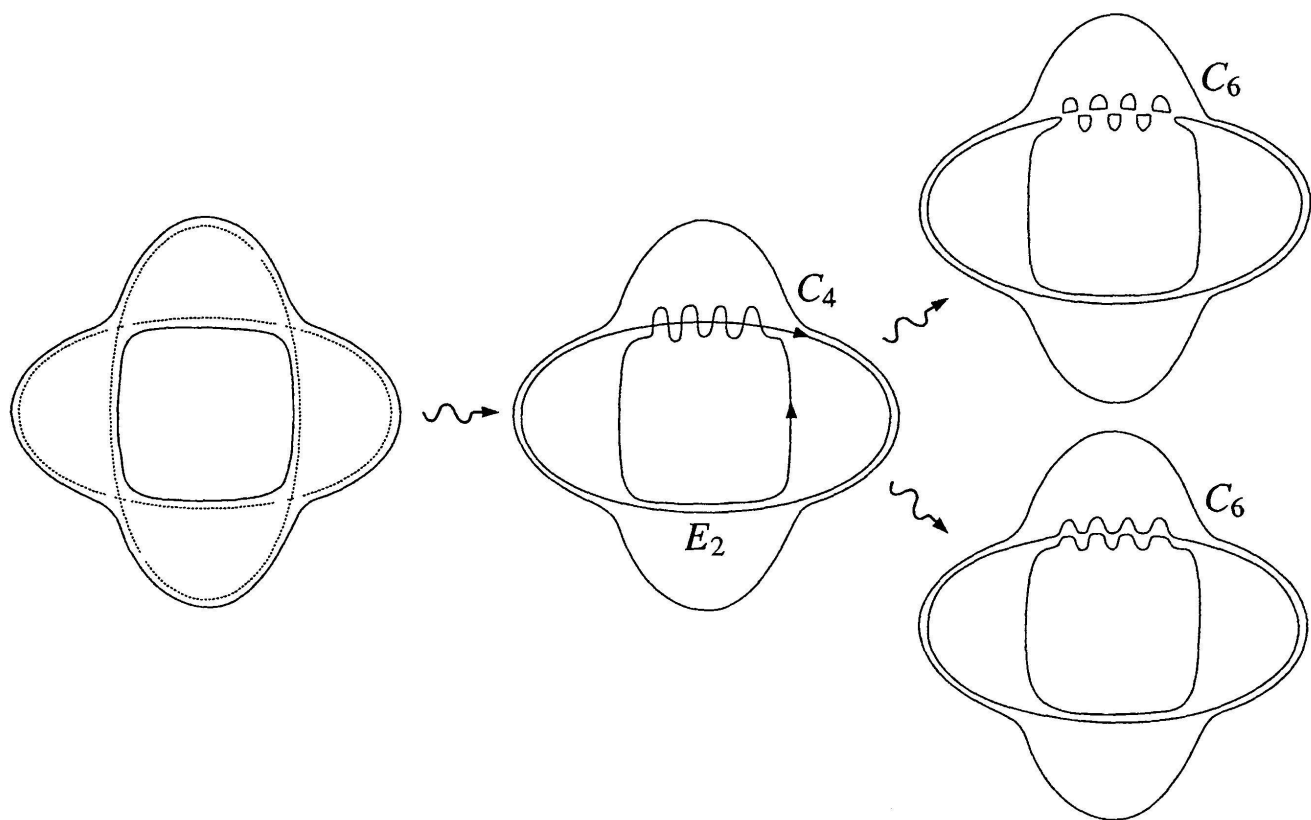


FIGURE 15

Plus généralement, la même technique (de vibration d'un ovale de  $C_d$  relativement à une conique génératrice  $E_2$ , suivie des 2 simplifications de  $C_d \cdot E_2 = 0$  compatibles avec des orientations complexes) permet de construire à partir d'une courbe d'invariants  $(d, r, 0)$  deux courbes séparantes d'invariants  $(d + 2, r + 2d - 1, 0)$  et  $(d + 2, r + 1, 0)$  avec  $r$  croissant respectivement à la vitesse de la borne de Harnack (*lissification maximale*) et à vitesse 1 (*lissification atténuée*).

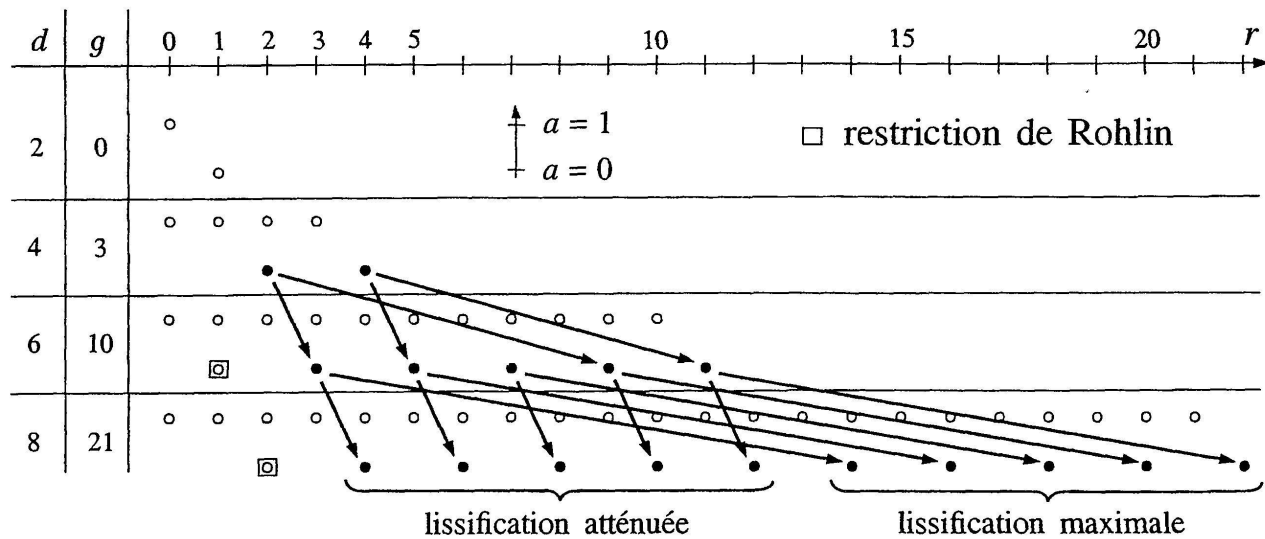


FIGURE 16

Visualisons les invariants ainsi réalisés sur le diagramme des involutions (cf. Figure 16). On observe que pour  $d = 8$ , les lissifications atténuées et maximales effectuent une «jonction» (cf. Figure 16), qui ne fera que s'accroître pour les degrés supérieurs. Ce qui garantit que l'on a mis la main sur presque tous les invariants Rohlin-admissibles pour les courbes séparantes.

**Étape 5.** On note cependant que pour  $d = 6$ , il nous manque encore la courbe d'invariants  $(d, r, a) = (6, 7, 0)$  qui échappe à cette méthode. Il n'est cependant pas difficile d'imaginer une petite construction «ad hoc» qui colmate cette lacune éphémère. On considère à cet effet la configuration de 3 coniques transverses de la Figure 17, dont la déformation proposée fournit la courbe  $C_6$  manquante d'invariants  $(d, r, a) = (6, 7, 0)$ . (Noter que c'est l'unique endroit dans tout l'argument où il est nécessaire de connaître explicitement une orientation complexe).

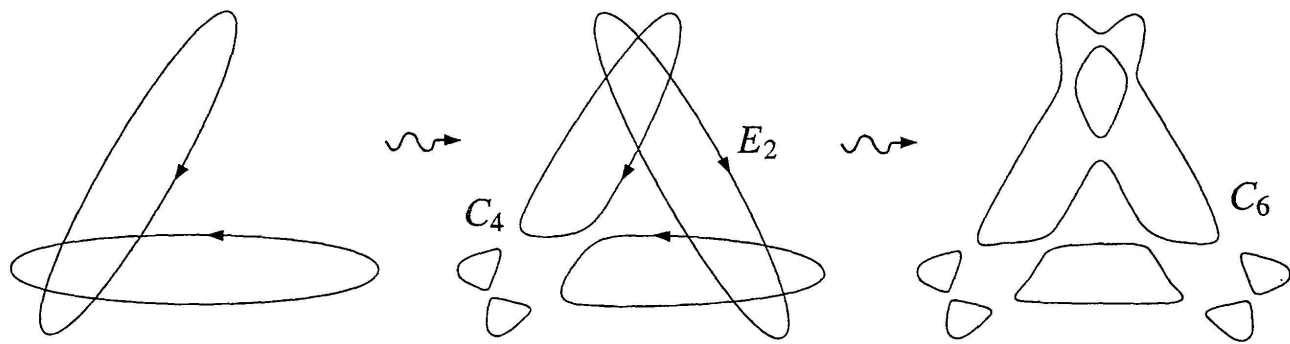


FIGURE 17

En résumé nous avons démontré:

**THÉORÈME 7.1.** *Pour les courbes planes réelles lisses de degré pair, la restriction de Rohlin est la seule sur les invariants  $(d, r, a)$ .*

## 7.2 LES COURBES DE DEGRÉ IMPAIR

Il nous reste à traiter le cas des courbes de degré impair; les valeurs admissibles des invariants  $(d, r, a)$  sont alors résumées par la Figure 18.

A nouveau on utilise la méthode de Hilbert, qui pour les degrés impairs démarre avec  $C_1$  une droite réelle et  $E_2$  une conique réelle rencontrant  $C_1$  en deux points réels. La déformation de  $C_1 \cdot E_2 = 0$  de la Figure 19 fournit une  $M$ -courbe  $C_3$  de degré 3.

Ensuite on construit une  $M$ -courbe  $C_5$  de degré 5 en faisant vibrer une des composantes de  $C_3$ , ce qui fournit une nouvelle cubique  $C_3$  oscillant